

PV225: Laboratoř systémové biologie

David Šafránek

14.12.2020

Tento projekt je spolufinancován Evropským sociálním fondem a státním rozpočtem České republiky.



Obsah

Paradigma systémové biologie

Dynamické modely biologických procesů

Parametrizace modelu

Statická analýza

Modelování fotosyntézy

Obsah

Paradigma systémové biologie

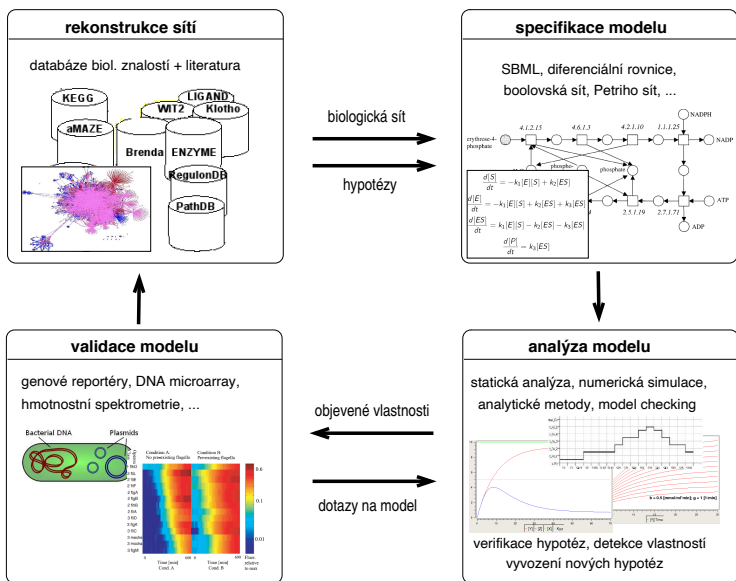
Dynamické modely biologických procesů

Parametrizace modelu

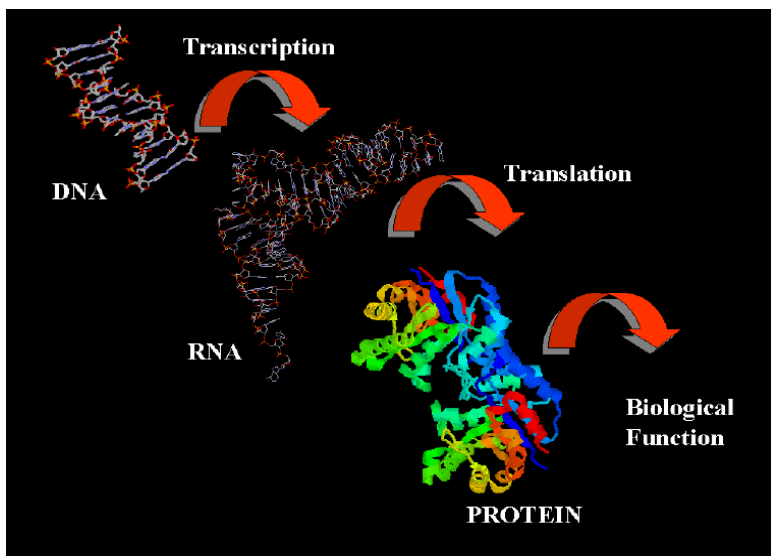
Statická analýza

Modelování fotosyntézy

Průběh výzkumu v systémové biologii

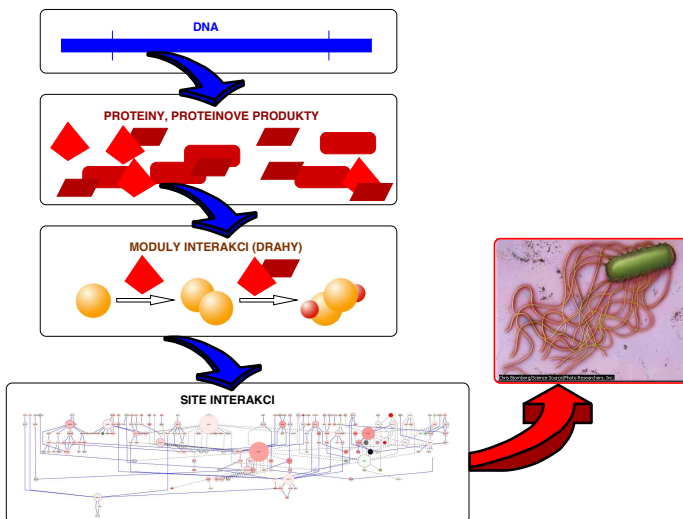


Centrální dogma

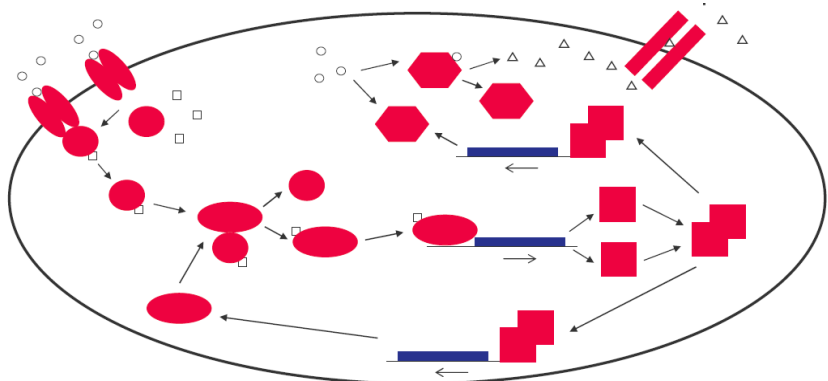


Genotyp → Fenotyp

Hierarchie interakcí

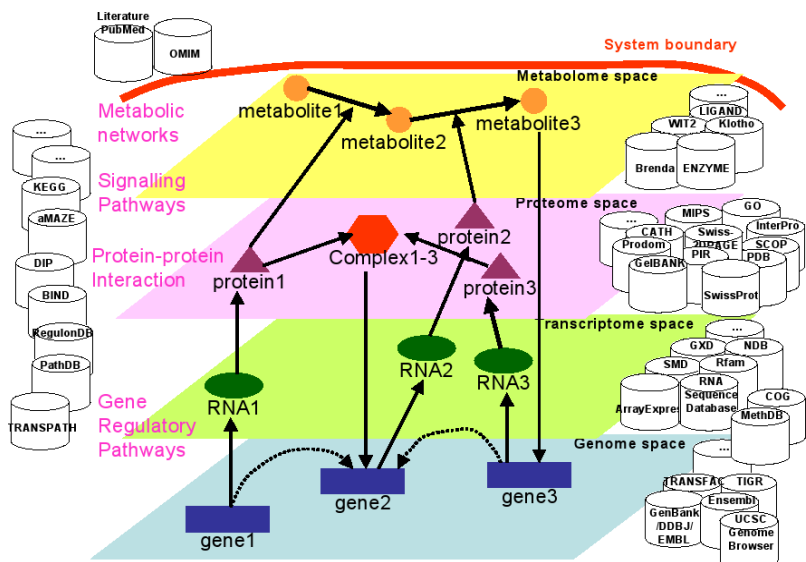


Biochemické procesy v buňce



- molekulární komponenty – proteiny, DNA, RNA,...
- interakce na různých úrovních (transkripce, metabolismus,...)
- příjem signálů na membráně

Funkční vrstvy buňky



Funkční vrstvy buňky

vrstva metabolismu

- rozsáhlý soubor katalytických (enzymových) reakcí
- příjem a zpracování energie v buňce
- rozklad a syntéza látek

transdukce signálů

- kaskády reakcí zpravovávající externí/interní signál
- receptory externích signálů na membráně

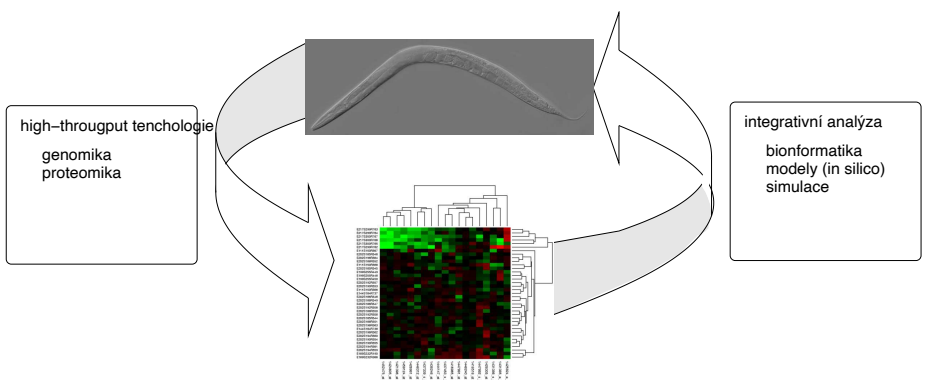
interakce proteinů

- tvorba proteinových komplexů
 - transkripční faktory a enzymy metabolismu

transkripční regulace

- řízení proteosyntézy

Metody systémového měření



Biologické sítě a dráhy

- biochemická interakce molekul popsaná grafem
- uzly
 - molekuly/komplexy biochemických látek
 - biochemické reakce
- hrany
 - regulace (aktivace, represe, katalýza)
 - příslušnost k reakci (produkt, zdroj)
- dráhy — zaměřené na určitá specifika (látky, reakce)
 - typicky signální dráhy
- sítě — komplexní interakce
- různé úrovně abstrakce, různé notace, např. Kohn's diagrams
<http://www.nature.com/msb/journal/v2/n1/full/msb4100044.html>

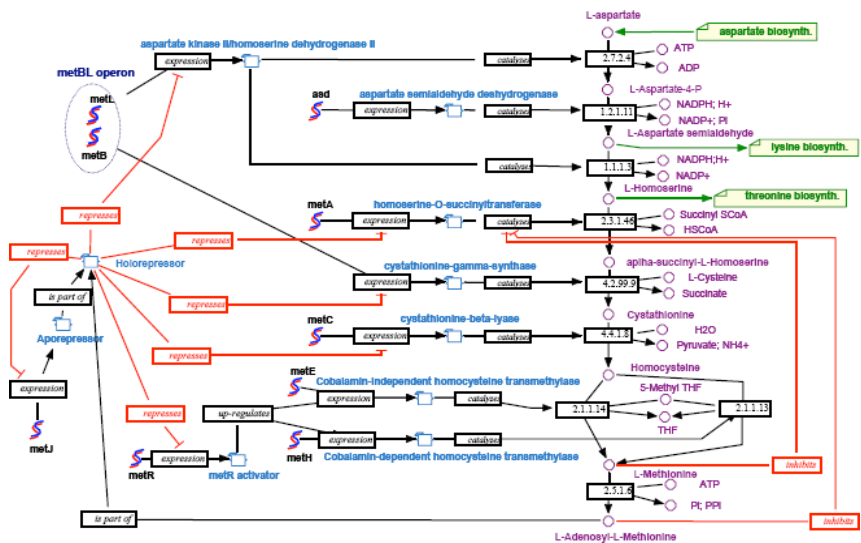
Biologická síť jako bipartitní graf

Definition

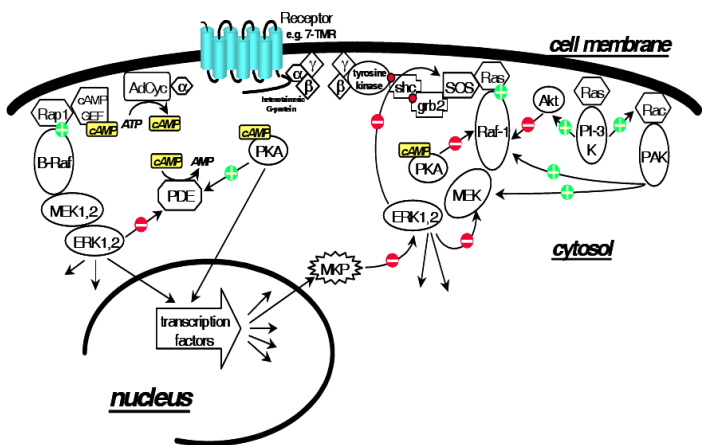
Nechť V je konečná množina substancí a R je konečná množina reakcí. Dále nechť $E_{rct} \subseteq (V \times R) \cup (R \times V)$ a $E_{reg} \subseteq V \times R$ jsou relace. *Biologickou sítí* nazveme sjednocení **reakčního grafu** $G_{rct} \equiv (V \cup R, E_{rct})$ a **regulačního grafu** $G_{reg} \equiv (V \cup R, E_{reg})$. Oba dílčí grafy jsou bipartitní.

typ sítě	V	R	E
genové	proteiny	degradace/produkce	regulační interakce
proteinové	proteiny	asociace/disociace	proteinové interakce
metabolické	metabolity	katalytické reakce	tok hmoty
signální	makromolekuly	katalytické reakce	přenos signálu

Příklad komponenty biologické sítě



Biologické sítě a dráhy



- neformální notace
- vyvíjejí se standardy — SBGN (podporuje např. CellDesigner)

Reprezentace stechiometrickou maticí

- uvažujme systém n substancí $S = \{S_1, \dots, S_n\}$ provázaných m reakcemi $R = \{R_1, \dots, R_m\}$
- uvažujeme pouze reakce 1. a 2. řádu
- systém zapisujeme pomocí stechiometrické matice M rozměru $n \times m$:

$$M_{ij} = \begin{cases} -K, & \text{je-li } K \cdot S_i \text{ reaktantem } R_j \\ K, & \text{je-li } K \cdot S_i \text{ produktem } R_j \end{cases}$$

Obsah

Paradigma systémové biologie

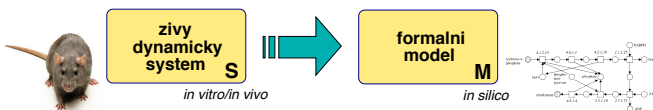
Dynamické modely biologických procesů

Parametrizace modelu

Statická analýza

Modelování fotosyntézy

Model jako abstraktní obraz organismu

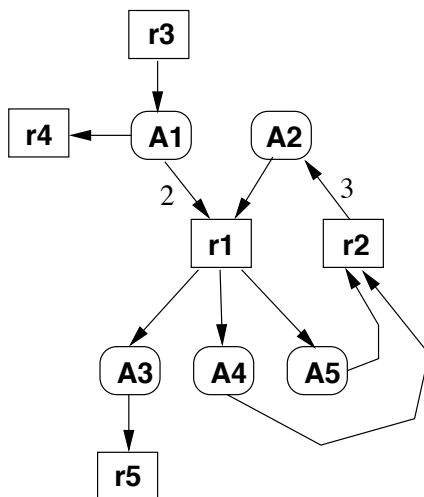


$$S \approx M$$

Tvorba modelu

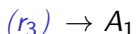
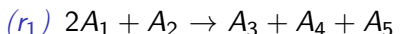
- cílem je modelovat dynamiku organismu
 - nezbytné pro predikci a pochopení fyziologických jevů
- model je definován biochemickými substráty a jejich reakcemi
- model je reprezentován staticky biologickou sítí
- nezávislý na výpočetních (simulačních) nástrojích
- sémantikou modelu je vývoj v čase z daných počátečních podmínek
 - vývoj koncentrací substrátů v čase
- různé přístupy k modelování dynamiky, abstrakce
 - spojité/diskrétní
 - deterministické/stochastické
- chceme vyrobit virtuální laboratoř
 - “náhrada” in vitro/in vivo experimentů analýzou in silico

Specifikace modelu – příklad



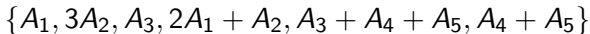
Specifikace modelu – příklad základní notace

Sada reakcí:

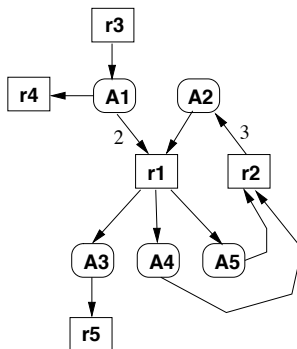


- substráty — $\{A_1, A_2, A_3, A_4, A_5\}$

- reakční komplexy —



Reprezentace stechiometrickou maticí



$$M_{sc} = \begin{bmatrix} -2 & 0 & 1 & -1 & 0 \\ -1 & 3 & 0 & 0 & 0 \\ 1 & 0 & 0 & 0 & -1 \\ 1 & -1 & 0 & 0 & 0 \\ 1 & -1 & 0 & 0 & 0 \end{bmatrix}$$

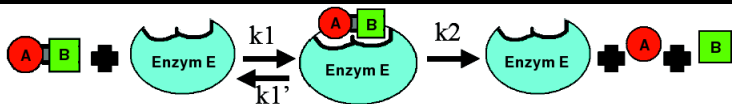
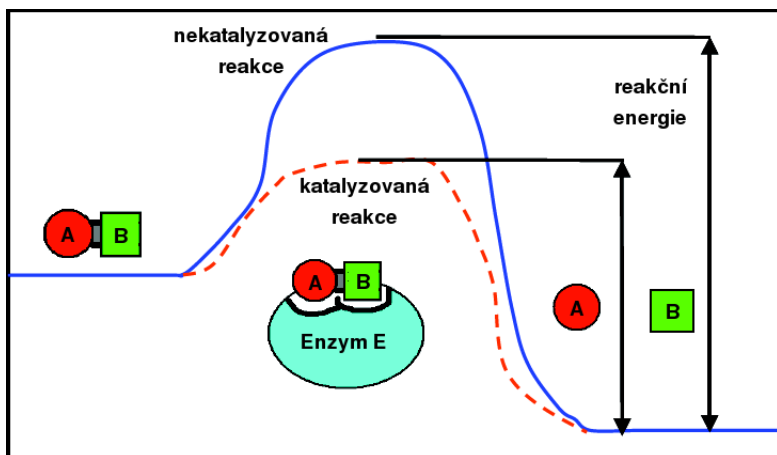
Jazyk SBML pro popis modelu

- Systems Biology Markup Language (<http://sbml.org/>)
- standard pro biologické modely (XML formát)
- hlavní část SBML popisuje hypergraf (biologickou síť)
- základní elementy:
 - substance (ListOfSpecies) – uzly grafu
 - reakce (ListOfReactions) – hyperhrany
- substance mají význam proměnných (v libovolných jednotkách)
- reakce jsou interakce mezi substancemi
 - reaktanty, produkty, [modifikátory]
 - vždy musí být neprázdná alespoň množina reaktantů nebo produktů
 - k reakcím možno definovat sémantiku (kineticLaw)

Východiska modelování v systémové biologii

- biologický systém chápán jako rozsáhlý komplex biochemických procesů
- systémové modelování biochemických procesů má hlubokou historii
 - kinetika enzymů vyvíjená v 1.čtvrtině 20.stol.
 - matematické modelování chování populací
 - teorie systémů, řízení a kybernetika
- klíčem je abstrakce na populační úroveň
 - fyzikálně podloženo klasickou mechanikou
 - mnoho zjednodušujících předpokladů, na populační úrovni však výsledky smysluplné a experimentálně ověřené

Energetický proces chemických reakcí



Energetický proces chemických reakcí

- různé energetické stavy molekuly
 - např. komplex AB méně stabilní než individuální výskyt molekul A, B
 - při přechodu mezi energ. stavy dochází k výměně energie
 - energie požadována pro aktivaci procesu (aktivacní energie)
 - energie uvolněna během procesu (volná energie)
- pro biologický systém je zdrojem většiny energie metabolismus
- absolutní teplota ovlivňuje kinetickou energii molekul
- pro reakci (úspěšnou kolizi) musí byt splněno:
 - správná prostorová konfigurace (orientace) molekul
 - dostatek kinetické energie

Deterministický model reakční dynamiky

- uvažujme systém n substancí $S = \{S_1, \dots, S_n\}$ provázaných m reakcemi $R = \{R_1, \dots, R_m\}$
- uvažujeme pouze reakce 1. a 2. řádu
- systém zapisujeme pomocí stechiometrické matice M rozměru $n \times m$:

$$M_{ij} = \begin{cases} -K, & \text{je-li } K \cdot S_i \text{ reaktantem } R_j \\ K, & \text{je-li } K \cdot S_i \text{ produktem } R_j \end{cases}$$

Deterministický model reakční dynamiky

- uvažovány vysoké molární koncentrace látek v buňce
- koncentraci substance S_i v čase t budeme značit $[S_i](t)$
- systém v čase t charakterizujeme vektorem:

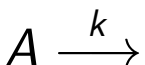
$$X(t) = \langle [S_1](t), \dots, [S_n](t) \rangle$$

- vývoj X v čase:

$$\frac{dX}{dt} = f(X)$$

- průměrné chování lze charakterizovat exponenciální funkcí

Deterministický model reakční dynamiky



- předpokládejme nádobu jednotkového objemu obsahující v čase t látku A v molárním množství $[A]$ [mol]
- kolik množství látky A "odteče" za jednotku času?
 - hodnota přímo úměrná hodnotě $[A]$ v daném okamžiku

$$-\frac{d[A](t)}{dt} = k \cdot [A](t)$$

- koeficient úměrnosti je konstanta k [s^{-1}]
tzv. *reakční konstanta (koeficient)*
- determinuje rychlosť reakcie rozpadu ("odtoku")

Deterministický model reakční dynamiky

$$\frac{[A](t)}{dt} = k \cdot [A](t)$$

- jaká funkce má stejný tvar jako její derivace?

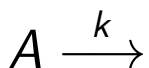
- $f(t) = 1 + t + t^2/2! + t^3/3! + t^4/4! + \dots$

$$f(t) = e^t$$

- platí

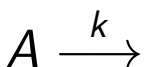
$$\frac{de^t}{dt} = e^t$$

Deterministický model reakční dynamiky



$$-\frac{d[A](t)}{dt} = k \cdot [A](t)$$

Deterministický model reakční dynamiky



$$-\frac{d[A](t)}{dt} = k \cdot [A](t) \Leftrightarrow [A](t) = [A](0) \cdot e^{-kt}$$

- lineární dif. rce 1. řádu
- jednoznačné řešení
- numericky approximovatelné

Deterministický model reakční dynamiky

- spojité chování: při přechodu $X(t) \rightarrow X(t + dt)$ jsou updatovány všechny složky X (souběžný spojitý tok reakcí)
- časová informace o běhu reakce R_i promítnuta do okamžitého reakčního toku $v_i(t)$

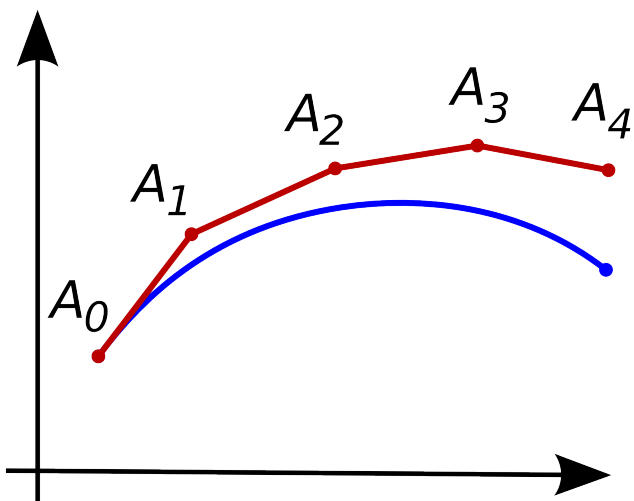
R_i	$\emptyset \rightarrow *$	$v_i(t) = k_i$
R_i	$S_j \rightarrow *$	$v_i(t) = k_i \cdot [S_j](t)$
R_i	$S_p + S_q \rightarrow *$	$v_i(t) = k_i \cdot [S_p](t) \cdot [S_q](t)$
R_i	$2S_j \rightarrow *$	$v_i(t) = k_i \cdot [S_j]^2(t)$

Podstata reakční konstanty

- závislost reakční konstanty k na absolutní teplotě T (Arheniův zákon):

$$k \propto e^{\frac{-E_A}{RT}}$$

- E_A ... aktivační energie reakce
- R ... plynová konstanta

Eulerova metoda

Eulerova metoda

- aproximativní řešení $y(t)$ (Euler):

$$\begin{aligned}y'(t) &= f(t, y(t)) \\y(0) &= y_0\end{aligned}$$

- přesné řešení $\varphi(t)$:

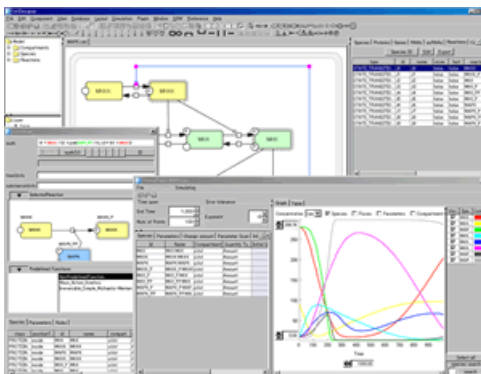
$$\begin{aligned}\varphi'(t) &= f(t, \varphi(t)) \\\varphi(0) &= y_0\end{aligned}$$

- pro lib. $n \geq 0$, $t_n = n\Delta t$:

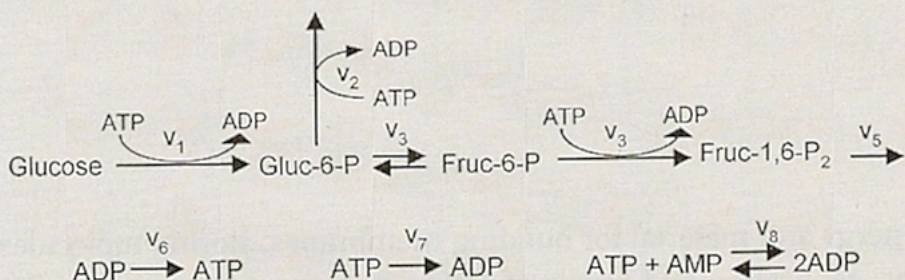
$$y_n \approx \varphi(t_n)$$

Nástroj CellDesigner

- nástroj pro modelování biologických procesů
- zaměřený na grafickou specifikaci (SBGN)
- napojen na simulátory skrze SB Workbench
- základní metody analýzy zabudovány přímo



Cvičení – model metabolismu glukózy



<https://www.genome.jp/pathway/map00010>

Cvičení – model metabolismu glukózy

$$\frac{d}{dt} \text{Gluc6P} = v_1 - v_2 - v_3$$

$$\frac{d}{dt} \text{Fruc6P} = v_3 - v_4$$

$$\frac{d}{dt} \text{Fruc1,6P}_2 = v_4 - v_5$$

$$\frac{d}{dt} \text{ATP} = -v_1 - v_2 - v_4 + v_6 - v_7 - v_8$$

$$\frac{d}{dt} \text{ADP} = v_1 + v_2 + v_4 - v_6 + v_7 + 2v_8$$

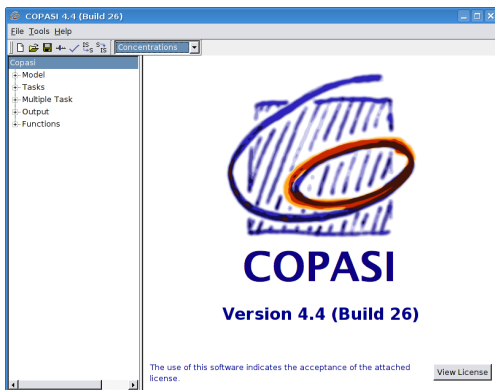
$$\frac{d}{dt} \text{AMP} = -v_8 .$$

Cvičení – model metabolismu glukózy

1. Načtěte model [http://www.fi.muni.cz/~xsafran1/
PV225/Glucose_Metabolism.xml](http://www.fi.muni.cz/~xsafran1/PV225/Glucose_Metabolism.xml) do nástroje CellDesigner.
2. Proveďte simulaci o délce 0.5 časových jednotek s použitím
výchozího nastavení parametrů a iniciálních hodnot.

Nástroj COPASI

- nástroj pro simulaci dynamiky sítí chemických reakcí
- zaměřený především na deterministické solvery
- stechiometrická analýza
- analýza sensitivity parametrů
- estimace parametrů



<http://www.copasi.org/>

Cvičení – model metabolismu glukózy

1. Načtěte model <http://www.fi.muni.cz/~xsafran1/PV225/glycolysis.cps> do nástroje COPASI.
2. Pomocí úlohy Parameter Scan – Time Course proveděte simulaci pro různá nastavení vstupní koncentrace glukózy (simuluje do času 0.5 min).
3. Zobrazte matematický model (diferenciální rovnice).

Základní kinetické zákony

$$v_2 = k_2 \cdot ATP \cdot Gluc6P$$

$$v_5 = k_5 \cdot Fruc_{1,6}P_2$$

$$v_6 = k_6 \cdot ADP$$

$$v_7 = k_7 \cdot ATP$$

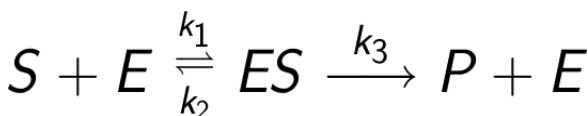
$$v_8 = k_{8f} \cdot ATP \cdot AMP - k_{8r} \cdot ADP^2$$

Pokročilé kinetické zákony

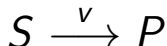
$$v_1 = \frac{V_{max,1} \cdot ATP}{K_{ATP,1} + ATP}$$

$$v_3 = \frac{\frac{V_{max,3}^f}{K_{Gluc6P,3}} Gluc6P - \frac{V_{max,3}^r}{K_{Fruc6P,3}} Fruc6P}{1 + \frac{Gluc6P}{K_{Gluc6P,3}} + \frac{Fruc6P}{K_{Fruc6P,3}}}$$

Kinetika Michaelis-Menten



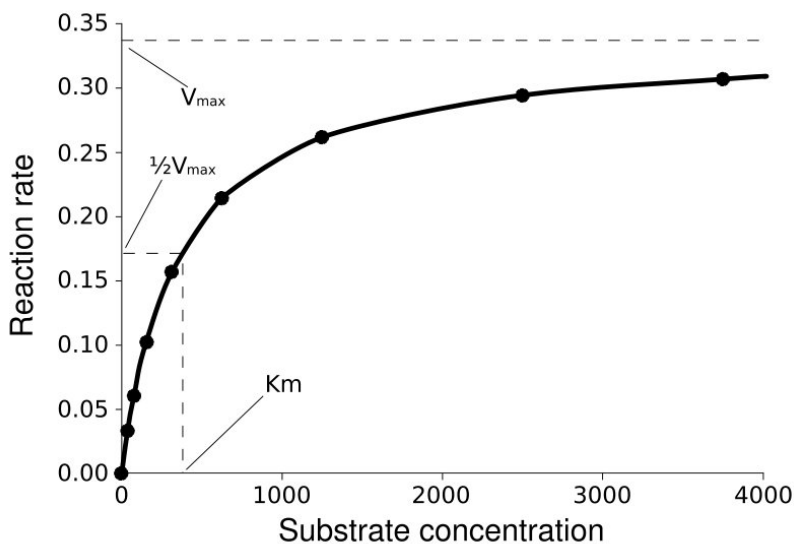
- nutnost znát k_1, k_2, k_3 – obtížně měřitelné
 - k_1, k_2 prakticky velmi těžko měřitelné *in vitro*
 - k_3 lze získat *in vitro* ale obtížné *in vivo*
- zjednodušení na



$$v = \frac{V_{max} \cdot S}{K + S}$$

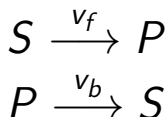
- platí pokud $S >> E$

Kinetika Michaelis-Menten



Kinetika Michaelis-Menten

- reversibilní reakce:



- model reakčního toku:

$$v_f = \frac{V_{max}^f \cdot S}{K_f + S}, \quad v_b = \frac{V_{max}^b \cdot P}{K_b + P}$$

- pro celkový tok reversibilní reakce platí:

$$v = \frac{\frac{V_{max}^f \cdot S}{K_f} - \frac{V_{max}^b \cdot P}{K_b}}{1 + \frac{S}{K_f} + \frac{P}{K_b}}$$

Obsah

Paradigma systémové biologie

Dynamické modely biologických procesů

Parametrisace modelu

Statická analýza

Modelování fotosyntézy

Estimace parametrů

$$S \xrightarrow{V_{max}, K} P$$

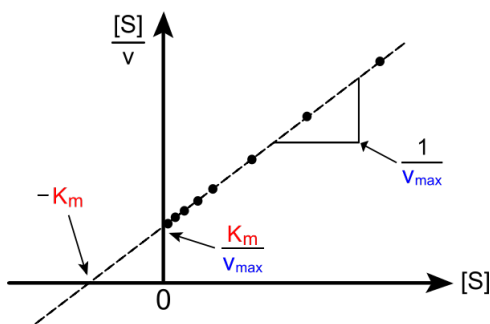
- model je parametrisovaný množinou parametrů $\{V_{max}, K\}$
- V_{max}, K lze získat nepřímo měřením *in vitro*
 - měří se koncentrace $S(0)$ a odpovídající výkon reakce v
 - po transformaci systému $v = \frac{V_{max}S}{K+S}$ se souřadnicemi v, S na systém v souřadnicích $\frac{S}{v}, S$ dostáváme:

$$\frac{S}{v} = \frac{S}{V_{max}} + \frac{K}{V_{max}}$$

toto lze využít pro lineární regresi (Hanes-Woolf plot)

Hanes, CS (1932). "Studies on plant amylases: The effect of starch concentration upon the velocity of hydrolysis by the amylase of germinated barley.". Biochemical Journal 26 (5): 1406-1421.

Estimace parametrů

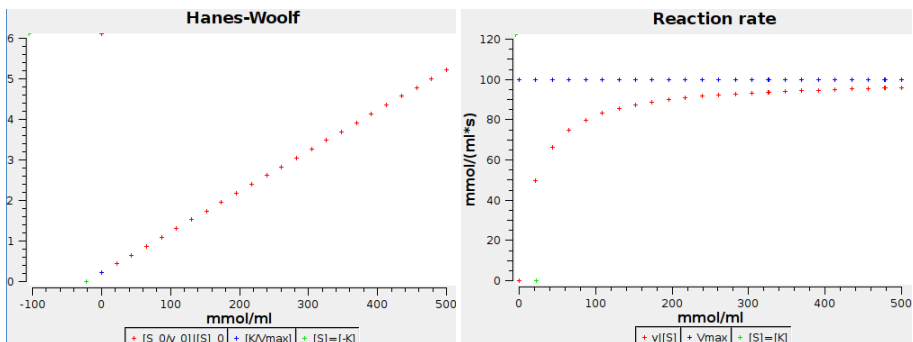


- měří se koncentrace $S(0)$ a iniciální tok v
- lineární regresí získáme K a V_{max}
- problémy: chybovost měření, nerealizovatelné *in vivo*

Hanes, CS (1932). "Studies on plant amylases: The effect of starch concentration upon the velocity of hydrolysis by the amylase of germinated barley.". Biochemical Journal 26 (5): 1406-1421.

Estimace parametrů

Demonstrace v COPASI



- závislost iniciálního toku $v(0)$ na iniciální koncentraci $S(0)$
- $S(0)$ samplováno rovnoměrně od 0 do 500
- K (resp. $-K$) znázorněno jako bod na ose S

Kinetika Michaelis-Menten

- měření iniciálního v v *in vitro* podmínkách (izolovaný enzym) pro různá S
- nutno použít nelineární regresi
- pro usnadnění se používají transformace do lineární závislosti mezi proměnnými \Rightarrow lineární regrese

	<i>Lineweaver-Burk</i>	<i>Eadie-Hofstee</i>	<i>Hanes-Woolf</i>
Transformed equation	$\frac{1}{v} = \frac{K_m}{V_{max}} \frac{1}{S} + \frac{1}{V_{max}}$	$v = V_{max} - K_m \frac{v}{S}$	$\frac{S}{v} = \frac{S}{V_{max}} + \frac{K_m}{V_{max}}$
New variables	$\frac{1}{v}, \frac{1}{S}$	$v, \frac{v}{S}$	$\frac{S}{v}, S$
Graphical representation			

Estimace parametrů

- co je cílem?
 - najít takovou valuaci parametrů, která nejlépe odpovídá experimentálně zjištěným time-course datům
 - chceme tedy co nejvíce přiblížit simulaci experimentálním datům (tzv. **fitting**)
- lineární regrese požaduje normální rozložení chyb měření
- transformací se nepřesnosti kumulují
- model je inherentně nelineární
 - nelineární jsou i naměřená data
- problém fittingu chápán jako optimalizační problém
- mnoho heuristických metod pro approximativní řešení
⇒ viz COPASI → Parameter Estimation

Problém reverzního inženýrství

- tzv. **inverzní problémy**
 - cílem je získat model z pozorování systému
 - obecně řešeno v teorii systémů (identifikace systémů)
 - pro nelineární systémy obecně neřešitelné
 - viz. IV120
- obecné schema řešení inverzního problému:
 1. identifikace vztahů mezi proměnnými
 2. identifikace funkcí popisujících sémantiku jednotlivých vztahů (např. zákon zachování hmoty, Michaelis-Menten, Hill, ...)
 3. **estimace hodnot parametrů ve funkčích získaných v předch. bodě**

Problém identifikovatelnosti

Systém a jeho pozorování

- mějme systém daný vektorovou diferenciální rovnicí:

$$\frac{dx}{dt} = f(x(t), p)$$

kde $x \in \mathbb{R}^n$ je stavový vektor a $p \in P$ je **vektor hodnot parametrů** z uvažovaného prostoru parametrů P

- uvažujme $T = \langle t_1, \dots, t_m \rangle$ rostoucí posloupnost časových bodů (tzv. **časovou řadu**)
- pozorovatelné (měřitelné) chování systému v časově řadě T je zachyceno funkcí:

$$y^M(t_i, p) = g(x(t_i, p))$$

- předpokládejme posloupnost $\langle x(t_1, p), \dots, x(t_m, p) \rangle$ je approximace řešení x zachyceného v časové řadě T a parametrizaci p (**simulace**)

Problém identifikovatelnosti

Experimentální měření

- mějme **experiment** jako posloupnost vektorů naměřených veličin $\langle y^D(t_1), \dots, y^D(t_m) \rangle$ v časové řadě T :

$$y^D(t_i) \doteq y^M(t_i, p)$$

- pro jednoduchost uvažujme $\dim(x) = \dim(y) = 1$ (obecně $\dim(x) \geq \dim(y)$ libovolné, ale složitější formulace)
- uvažujeme (nereálnou) situaci přesného měření

Problém identifikovatelnosti

Experimentální měření s chybou

- mějme **experiment** jako posloupnost vektorů naměřených veličin $\langle y^D(t_1), \dots, y^D(t_m) \rangle$ v časové řadě T :

$$y^D(t_i) = y^M(t_i, p) + \epsilon_i$$

- chyba i tého časového bodu měření ϵ_i ;
- uvažujeme statistickou charakterizaci chyby normálním rozložením:

$$\epsilon_i = N(0, \sigma_i)$$

- σ_i lze odhadnout např. opakovaným měřením v daném časovém bodě

Problém identifikovatelnosti

- znalost struktury systému (funkce f)
- znalost experimentálního protokolu (funkce g)
- možno určit identifikovatelnost parametrů systému:

Lze najít parametrisaci, která jednoznačně vysvětluje daný experiment nad systémem?

Problém identifikovatelnosti

- **strukturní identifikovatelnost** – teoretická vlastnost systému nezávislá na kvalitě a rozlišení měření
- systém je strukturně identifikovatelný vzhledem k protokolu g a parametrickému prostoru P pokud:

$$\forall p_1, p_2 \in P. p_1 \neq p_2 \implies \exists t. g(x(t, p_1)) \neq g(x(t, p_2))$$

Problém identifikovatelnosti

- uvažujeme hodnoty parametrů v okolí určité hodnoty p_0
- **lokální strukturní identifikovatelnost** – teoretická vlastnost systému nezávislá na kvalitě a rozlišení měření, ale uvažuje pouze lokální jednoznačnost
- systém je lokálně strukturně identifikovatelný vzhledem k protokolu g a ϵ -okolí parametru p_0 pokud:

$$\begin{aligned}\forall p_1, p_2 \in \{p \in P \mid \|p - p_0\| < \epsilon\}. p_1 \neq p_2 \\ \implies \exists t. g(x(t, p_1)) \neq g(x(t, p_2))\end{aligned}$$

Problém identifikovatelnosti

- analytické prokázání strukturní identifikovatelnosti je obtížné pro nelineární systémy
- uvažuje se pouze lokální identifikovatelnost v okolí reálné hodnoty parametru
- prakticky je určení lokální identifikovatelnosti závislé na kvalitě a rozlišení naměřených dat
⇒ hovoříme o **praktické identifikovatelnosti**
- úspěšnost odhadu parametrů charakterizována statisticky

Estimace parametrů optimalizací

- obecný postup:
 1. srovnej experimentální časovou řadu se simulovanou časovou řadou
 2. pokud rozdíl menší než nastavená tolerance → DONE
jinak modifikuj parametry modelu
 3. proved time-course simulaci modelu
 4. iteruj (1)

Estimace parametrů optimalizací

- definujeme odchylku experimentu od simulace v časovém bodě t_i jako tzv. **reziduál**:

$$r(t_i, p) = y^D(t_i) - y^M(t_i, p)$$

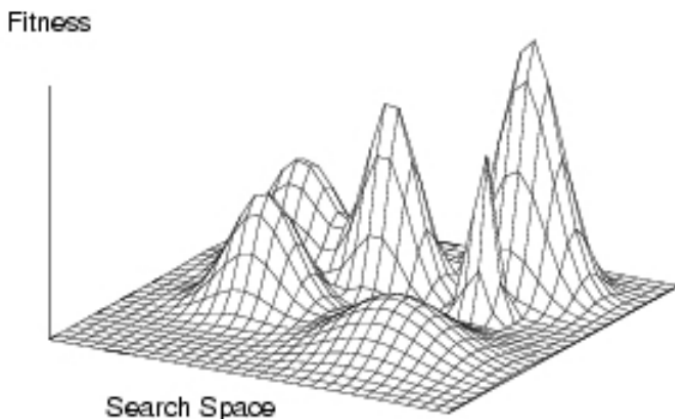
- reziduál chápeme jako funkci závislou na nastavení parametrů simulovaného modelu
- srovnání experimentu a simulace je vyjádřeno jako součet čtverců reziduálů přes vš. časové body T :

$$\mathcal{S}(p) = \sum_i^m (r(t_i, p))^2$$

Estimace parametrů optimalizací

- funkce $S(p)$ se nazývá **užitková funkce**
- vystihuje průměrnou odchylku simulace od experimentu přes danou časovou řadu
- **minimální hodnota** $S(p)$ určuje optimální vektor hodnot parametrů p , který globálně minimalizuje rozdíl mezi experimentem a modelem
- jedná se o nelineární funkci
- počet neurčitých parametrů určuje její dimenzi

Optimalizační krajina



Procházky po optimalizační krajině...

- CÍL: najít **globální minimum**
- nejpoužívanější jsou stochastické black-box přístupy:
 - náhodné procházení (random search)
 - evoluční strategie (evolution strategy)
 - ...
- black-box znamená absolutní nezávislost na tvaru užitkové funkce
- existují i metody, které využívají znalosti užitkové funkce (např. simulované žíhání, Truncated Newton, . . .)

Procházky po optimalizační krajině...

Random Search

1. inicializuj náhodně výchozí hodnotu p
 - typicky z rovnoměrného rozložení
2. dokud není překročen povolený počet iterací, prováděj:
 - 2.1 sampluj novou pozici p'
→ uniformní náhodný výběr z hyperkoule o daném poloměru
 - 2.2 spočítej $\mathcal{S}(p')$
 - 2.3 pokud $\mathcal{S}(p') < \mathcal{S}(p)$, nastav novou pozici $p := p'$
3. p nastaveno na nejvhodnější pozici (z pohledu běhu algoritmu)

Pozn. Existují varianty s fixním i adaptivním poloměrem.

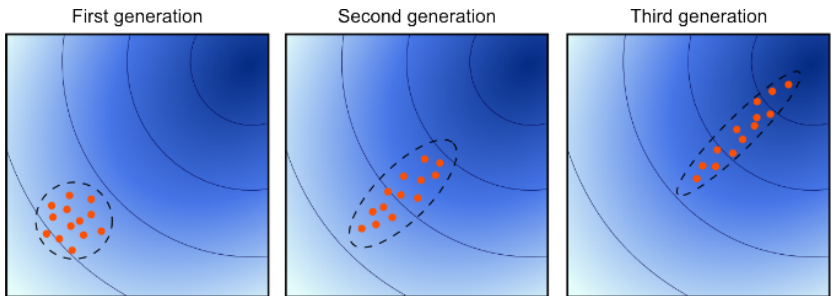
Procházky po optimalizační krajině...

Evoluční strategie

- inherentně adaptivní metoda, redukuje počet iterací
- staví na výběrech z (vícerozměrného) normálního rozložení
- rozměr daný dimenzí vektoru parametrů
- značeno CMA-ES (Covariance Matrix Evolution Strategy)
- postup:
 1. vytvoř generaci
→ sampluj rozložení pozic hodnot P dle normálního rozložení
 2. pro každé $p \in P$ spočítej $\mathcal{S}(p)$
 3. adaptace: uprav parametry normálního rozložení pro další iteraci
→ různé varianty, mohou být velice komplexní adaptace citlivé na charakter evoluční krajiny – adaptace kovarianční maticy
- metoda se ukazuje výhodná pro biologické modely (vysoká míra neznalosti parametrů)

Procházky po optimalizační krajině...

Evoluční strategie



Estimace parametrů – vážená varianta

- OLE dává statisticky dobré výsledky pro nezávislá měření se stejnou neurčitostí (chybou)
- pro měření s různou neurčitostí lze použít vážené OLE:

$$S(p) = \sum_{i=1}^n w_i r_{i,p}^2$$

- pokud σ_i je standardní odchylka hodnot i tého měření, lze volit

$$w_i = \frac{1}{\sigma_i^2}$$

Cvičení

1. Specifikujte pomocí COPASI model reakce $S \xrightarrow{v} P$ pomocí Michaelis-Menten kinetiky, uvažujte $V_{max} = 100$, $K = 22$.
2. Proveďte simulaci pro $S(0) = 500$, $P(0) = 0$.
3. Proveďte estimaci parametru V_{max} dle naměřených experimentálních dat <http://www.fi.muni.cz/~xsafra1/PV225/producttimeseries.csv>. Použijte metodu "Evolutionary Programming".
4. Proveďte estimaci parametrů V_{max} , K dle téhož datasetu.

Cvičení

1. Specifikujte pomocí COPASI model reakce $S \xrightarrow{v} P$ pomocí Michaelis-Menten kinetiky, uvažujte parametrizaci $V_{max} = 100, K = 22$.
2. Proveďte estimaci iniciální podmínky $S(0)$ tak, aby ve stabilním stavu bylo $P = 400$.
3. Uvažujte experimentální data <http://www.fi.muni.cz/~xsafran1/PV225/productsteady.csv>.

Cvičení

1. Specifikujte pomocí COPASI model reakce $S \xrightarrow{v} P$ pomocí Michaelis-Menten kinetiky.
2. Předpokládejte iniciální toky v naměřené pro různé výchozí koncentrace S . Data jsou k dispozici v souboru <http://www.fi.muni.cz/~xsafran1/PV225/vmaxes.tar>.
3. Proveďte estimaci parametrů V_{max}, K .

Cvičení

1. Uvažujte model glykolýzy <http://www.fi.muni.cz/~xsafran1/PV225/glycolysis.cps>.
2. Proveďte estimaci vstupní hodnoty koncentrace glukózy a parametru Vmax1 pro dataset http://www.fi.muni.cz/~xsafran1/PV225/metaboldata_steady2.csv naměřená ve stabilním stavu (při zastaveném metabolismu). Parametry jsou uvažovány jako neznámé současně v jednom vektoru.
3. Proveďte estimaci stejně parametrizace pro data set http://www.fi.muni.cz/~xsafran1/PV225/metaboldata_steady3.csv (naměřený rovněž ve stabilním stavu) a zjistěte v čem se liší od předchozího datasetu.

Obsah

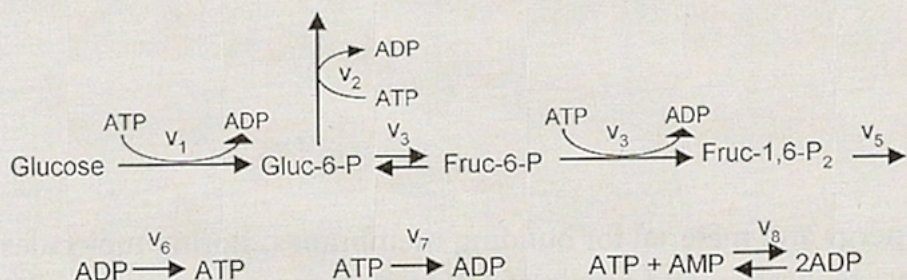
Paradigma systémové biologie

Dynamické modely biologických procesů

Parametrizace modelu

Statická analýza

Modelování fotosyntézy

Příklad

Příklad

Uvažujeme reakční síť $\mathcal{M} = (S \cup R, E_{rct})$, $V = \{s_1, \dots, s_n\}$
 množina substrátů, $R = \{r_1, \dots, r_m\}$ množina reakcí.

$$S = \begin{pmatrix} Gluc6P \\ Fruc6P \\ Fruc_{1,6}P_2 \\ ATP \\ ADP \\ AMP \end{pmatrix}$$

$$M = \begin{pmatrix} 1 & -1 & -1 & 0 & 0 & 0 & 0 & 0 \\ 0 & 0 & 1 & -1 & 0 & 0 & 0 & 0 \\ 0 & 0 & 0 & 1 & -1 & 0 & 0 & 0 \\ -1 & -1 & 0 & -1 & 0 & 1 & -1 & -1 \\ 1 & 1 & 0 & 1 & 0 & -1 & 1 & 2 \\ 0 & 0 & 0 & 0 & 0 & 0 & 0 & -1 \end{pmatrix}$$

Hodnost stechiometrické matice

- dimenze stechiometrického prostoru je dána $h(M)$
- uvažme následující značení:
 - $N_N \in \mathbb{Z}^{h(M) \times |R|}$ matice lineárně nezávislých řádků M
 - $N_D \in \mathbb{Z}^{(|S|-h(M)) \times |R|}$ matice lineárně závislých řádků M

$$M = \begin{bmatrix} N_N \\ N_D \end{bmatrix}$$

Hodnost stechiometrické matice

- dimenze stechiometrického prostoru je dána $h(M)$
- uvažme následující značení:
 - $N_N \in \mathbb{Z}^{h(M) \times |R|}$ matice lineárně nezávislých řádků M
 - $N_D \in \mathbb{Z}^{(|S|-h(M)) \times |R|}$ matice lineárně závislých řádků M

$$M = \begin{bmatrix} N_N \\ N_D \end{bmatrix}$$

Definujeme spojovací (*link*) matici $L \in \mathbb{Z}^{h(M) \times (|S|-h(M))}$ jako matici splňující vztah:

$$N_D = L \cdot N_N$$

Význam hodnoty stechiometrické matice

- konzervace mas/energií — *moiety conservation*
- definováno jako v čase konstantní součet koncentrací substrátů
 - např. $ATP + ADP$
- zachyceno lineární závislostí řádků v M
- každý substrát v N_D je konzervován lineární kombinací substrátů v N_N
- spojovací matice zachycuje právě tuto závislost

Cvičení

- Zjistěte konzervační vztahy v modelu glykolýzy.
- Použijte nástroj COPASI (Mass Conservation).

Podprostory stechiometrické matice

Definujeme *levý nulový podprostor* M , značíme $\text{Inp}(M)$, jako prostor generovaný vektory splňujícími

$$M^T \cdot x = 0$$

- $\dim(\text{Inp}(M)) = |S| - h(M)$
- levý nulový prostor zachycuje konzervační a časové invarianty
- všechny reakce zahrnuté v tomto prostoru manipulují s konzervovanou masou/energií

Podprostory stechiometrické matice

Definujeme *nulový podprostor* M , značíme $np(M)$, jako prostor generovaný vektory splňujícími

$$M \cdot x = 0$$

- $\dim(np(M)) = |R| - h(M)$
- nulový prostor zachycuje stabilní distribuci reakčního toku (flux)
- bázové vektory tohoto prostoru tvoří jádro matice M :

$$M \cdot K = 0$$

- $K \in \mathbb{N}^{|R| \times (|R| - h(M))}$
- netriviální řešení pro $h(M) < |R|$, není obecně určeno jednoznačně

Podprostory stechiometrické matice

- ve stabilním stavu je lze vyjádřit reakční tok jako lineární kombinaci vektorů v K :

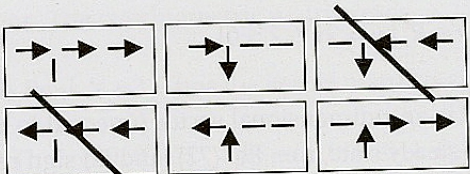
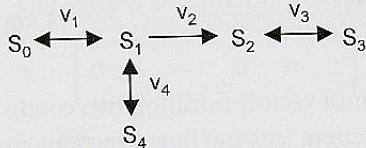
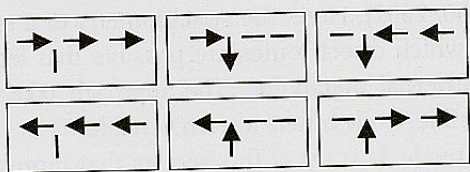
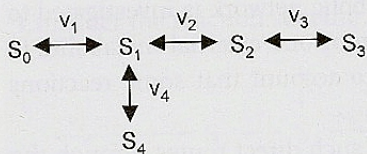
$$J = \sum_{i=1}^{|R|-h(M)} \alpha_i \times K(i)$$

- báze $np(M)$ určuje *módy reakčního toku*, které vymezují podsíť modelu se specifickou dynamikou ve stabilním stavu:

$$Em(M) = \{v \in \mathbb{N}^{|R|} \mid v = \gamma \cdot v', \gamma > 0, v' \in np(M)\}$$

- *elementární mód* je reakční mód daný bázovým vektorem $np(M)$

Podprostory stechiometrické matice



Obsah

Paradigma systémové biologie

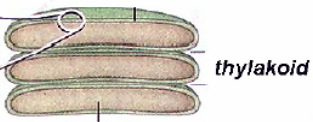
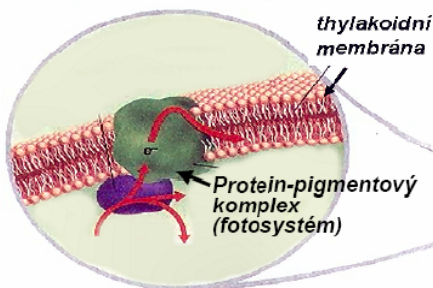
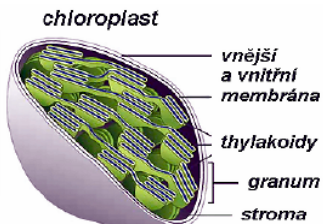
Dynamické modely biologických procesů

Parametrizace modelu

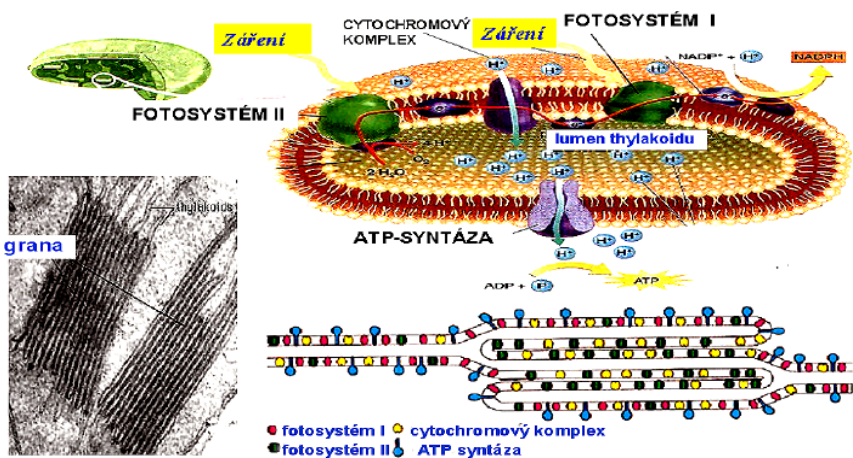
Statická analýza

Modelování fotosyntézy

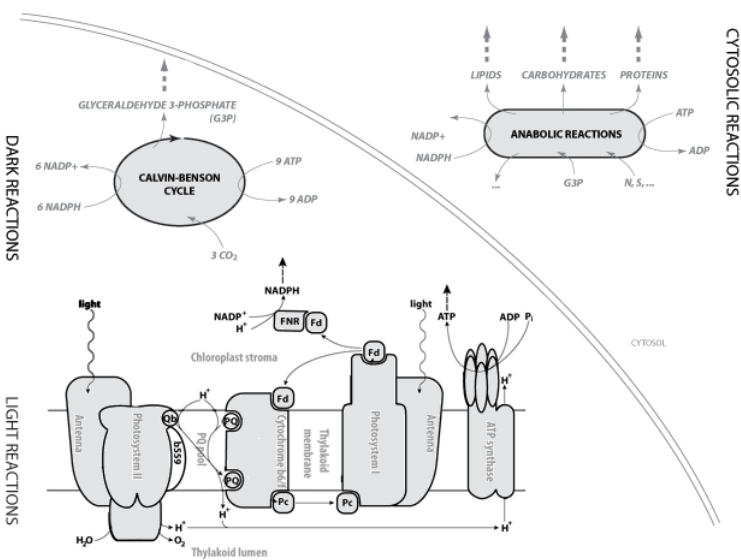
Photosynthesis Process



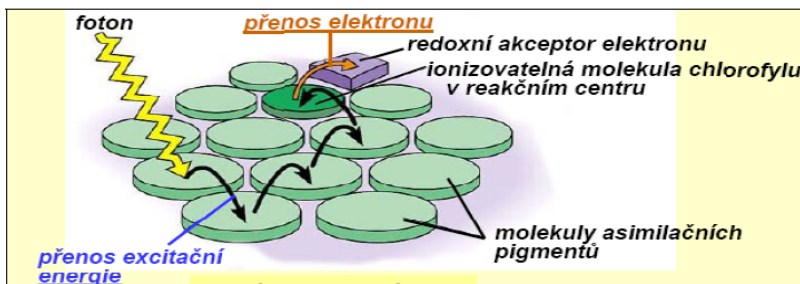
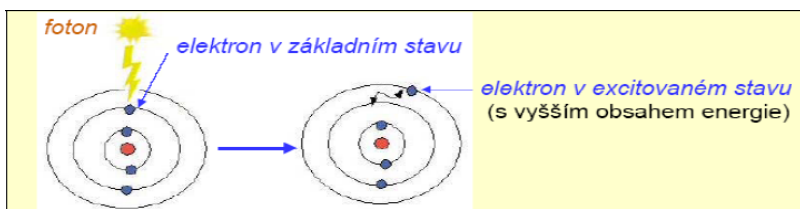
Photosynthesis Process



Photosynthesis Process

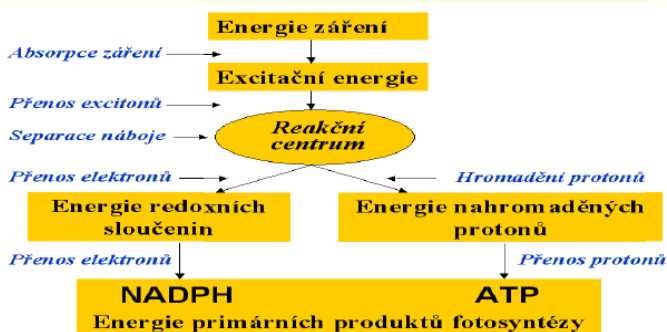


Photosynthesis Process

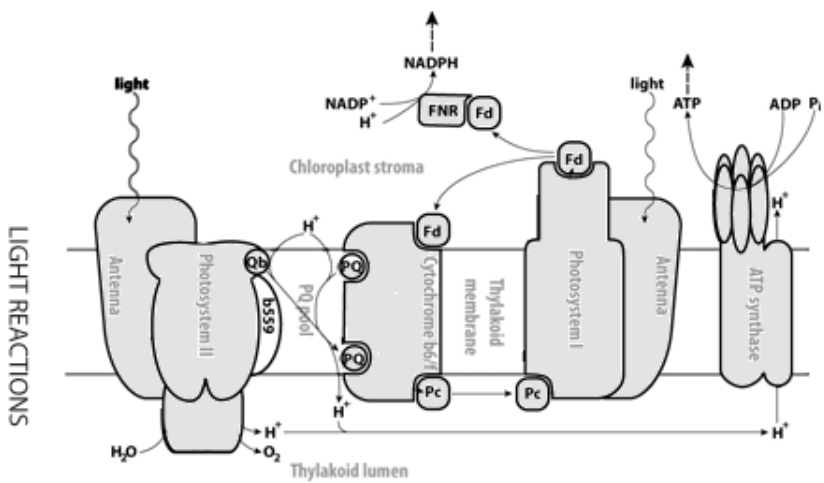


Photosynthesis Process

Přehled typů procesů ve fotochemické části fotosyntézy

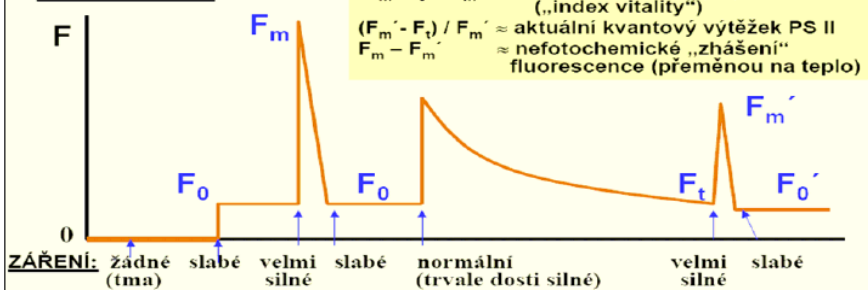


Photosynthesis Process

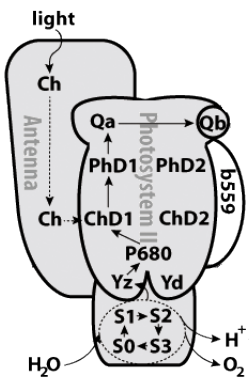


Photosynthesis Process – měření

Indukční křivka:

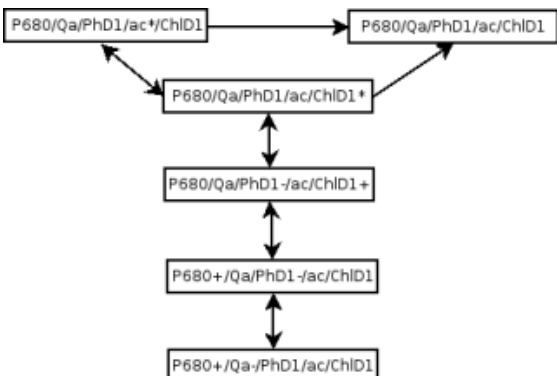
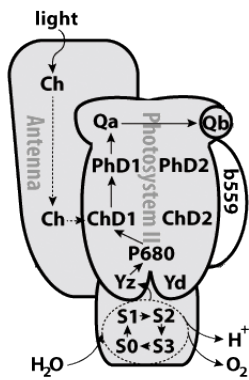


Photosystem II



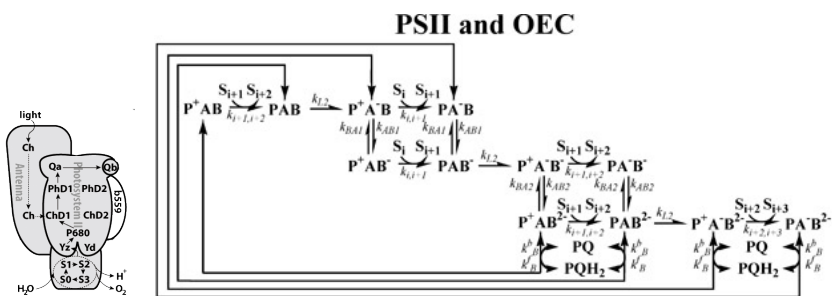
- po excitaci antény dochází k přenosu excitonu:
 - oxidace prim. donoru (chlorofyl d, *Ch/D*)
 - oxidace sek. donoru (chlorofyl a, *P680*)
 - redukce primárního akceptoru *Q_a*
 - redukce sekundárního akceptoru *Q_b*
 - výstup: protonace plastochinonu *PQ*
- oxygen-evolving complex (OEC)
 - donace elektronů z manganového komplexu
 - 5 stavů, poslední nestabilní
(štěpí $2H_2O$ na $4H^+$ a O_2)

Photosystem II – model odezvy světelného impulzu



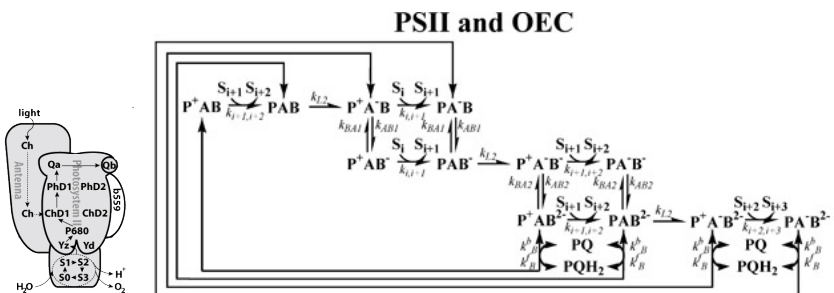
A. R. Holzwarth et.al. Kinetics and mechanism of electron transfer in intact photosystem II and in the isolated reaction center: Pheophytin is the primary electron acceptor. PNAS May 2, 2006 vol. 103 no. 18.

Photosystem II – model fluorescence



- předpoklad vzájemné inertnosti různých PSII komplexů
- pouze otevřené stavy (Q_a neredukované) s neexcitovaným reakčním centrem absorbují foton

Photosystem II – model fluorescence

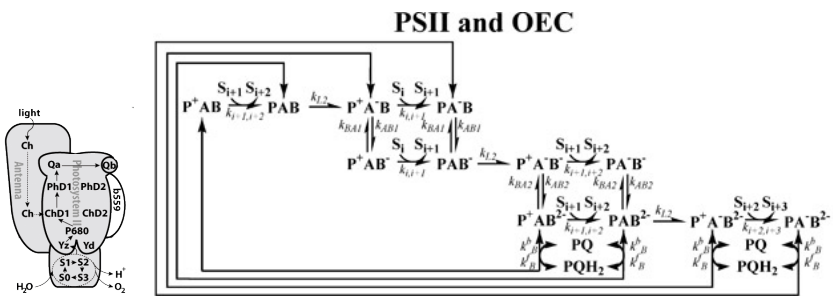


- náběh fluorescence při dark-light přechodu je odhadován z celkového podílu zavřených stavů

$$F_{unq}(t) = \frac{(1-p) \cdot \sum [Q_{a-}](t)}{1 - p \cdot \sum [Q_{a-}](t)}$$

kde p vyjadřuje míru konektivity komplexů PSII v chloroplastu

Photosystem II – model fluorescence



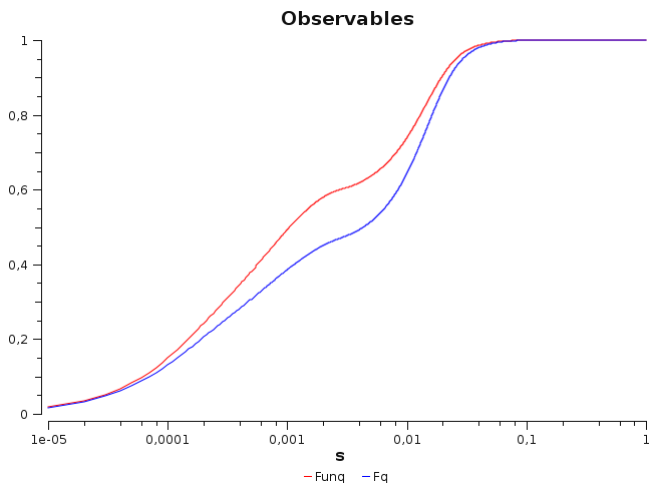
- fotochemické zhášení je zohledněno podílem oxidovaných molekul PQ

$$F_q(t) = \frac{F_{unq}(t)}{1 + \left(\frac{1}{45} + \frac{\sum [Q_a^-](t)}{36} \right) \cdot [PQ](t)}$$

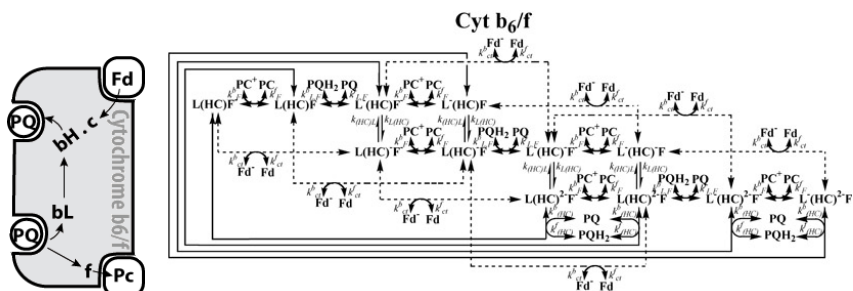
Specifika modelů fotosyntézy

- procesy dynamiky konformací proteinových komplexů v membráně
- nejedná se o kompartmentové modely jejichž kinetika je určena pohybem v určitém objemu
- pro kinetiku těchto komplexů nelze uplatnit kinetiku 2. řádu
- použito procentuálního vyjádření podílu jednotlivých konformací a kinetiky 1. řádu
- přenosy mezi komplexy jsou definovány pohybem v objemu (poolu), proto lze modelovat kinetikou 2. řádu

Photosystem II – model

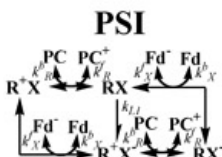
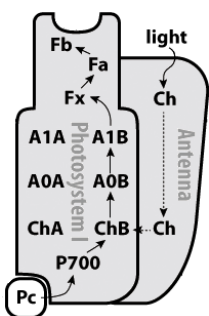


Cytochrome *b6f*



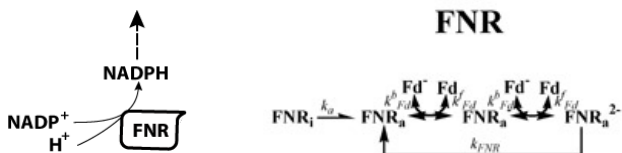
- zachycení plastohydrochinonu PQH_2
 1. uvolnění 2 protonů do lumenu
 2. uvolnění 2 elektronů
 - 2.1 přenos na plastocyanin PC
 - 2.2 přenos na hemovou redoxní skupinu a redukce PQ
 - 2.3 donace od feredoxinu Fd
- tzv. Q-cyklus (přečerpávání protonů ze stromatu do lumenu)
- výstup: protonace lumenu, redukce plastocyaninu

Photosystem I



- absorbce radiace a oxidace reakčního centra $P700$
- zachycení elektronu z plastocyaninu PC a donace reakčnímu centru
- dále redoxní řetězec
- výstup: přenos elektronu na feredoxin

Photosystem I



- přenos Fd ke konečnému akceptoru $NADP^+$
- redukce na $NADPH$
- zprostředkováno feredoxin-NADP reduktázou
- alternativně je Fd použito k redukci plastochinonu v PQ-poolu
- výstup: NADPH nebo cyklický přenos ("nabíjení")